

الحمد لله رب العالمين



دانشگاه سمنان

دانشکده مهندسی مکانیک

بررسی عددی رفتار جریان و انتقال حرارت در یک ردیف جت برخوردهای دایره‌ای به سطح مقعر

پایان نامه برای دریافت درجه کارشناسی ارشد

در رشته مهندسی مکانیک گرایش تبدیل انرژی

نگارش:

رضا طریقی

استاد راهنما:

دکتر مهران رجبی زرگ آبادی

مهر ماه ۱۳۹۳

تقدیر و تشکر:

منت خدای را عزوجل که طاعتش موجب قربت است و به شکر اندرش مزید نعمت...

بر خود لازم می‌دانم از استاد بزرگوار دکتر مهران رجی که راهنمایی اینجانب را در طی دوره کارشناسی ارشد و در طول انجام پژوهش حاضر بر عهده داشتند تشکر و قدردانی نمایم. به یقین دانش و تجربه ایشان نقش اساسی در انجام این تحقیق داشته است.

چکیده

مهندسی مکانیک یکی از علوم بسیار گسترده است که دارای زیر شاخه‌های بسیاری است. یکی از این بخش‌ها که در سال‌های اخیر به شدت مورد توجه دانشمندان بوده است و تاثیر بسیاری در صنایع داشته است، بحث انتقال حرارت است. مبحث انتقال حرارت خود دارای زیر مجموعه‌های بسیار زیادی است که یکی از آن‌ها انتقال حرارت برخوردي می‌باشد. این بخش کاربردهای زیادی را در صنعت دارد. امروزه استفاده از جت‌های برخوردی در صنعت هوا و فضا، صنعت برش قطعات، خشک کردن کاغذ، خنک‌کاری پرهای توربین، صنایع غذایی و الکترونیکی و... بسیار شدت گرفته است. از این رو جهت بهینه کردن بازده و کارایی جت‌های برخوردی تحقیق در این زمینه بسیار پویا می‌باشد. در این مطالعه، پیرامون تحلیل عددی جریان و انتقال حرارت در یک ردیف جت دایره‌ای برخوردی به سطح مقعر استوانه‌ای شکل، بحث می‌شود. در این راستا معادلات متوسط گیری شده برای جریان تراکم ناپذیر آشفته در حالت دائم به همراه سه مدل آشفتگی رایج و یک مدل رینولدز پایین به همراه تصحیح کننده یاپ، در یک فضای محاسباتی سه بعدی حل شده‌اند. همچنین نتایج عددی با داده‌های تجربی موجود مورد مقایسه قرار گرفته است. استفاده از تصحیح یاپ در مدل رینولدز پایین، سبب شد تا خطابرای عدد ناسلت در نقطه برخورد به طور قابل ملاحظه‌ای کاهش یابد. اما بررسی‌ها نشان می‌دهد که مدل SST-K ω نسبت به سایر مدل‌های آشفتگی توانایی مناسبی در پیش-بینی تغییر شیب‌های موجود در توزیع عدد ناسلت و مقدار عدد ناسلت در ناحیه برخورد را دارا می‌باشد. اثر عدد رینولدز جت، انحنای نسبی، تعداد جت و فاصله مرکز جت‌ها تا لبه خروجی سطح مقعر در دو چیدمان خطی و جابه جا شده بر توزیع ناسلت روی سطح برخورد مورد مطالعه قرار گرفته است. نتایج به دست آمده نشان می‌دهد که افزایش عدد رینولدز از ۱۰۰۰۰ به ۴۰۰۰۰ سبب افزایش عدد ناسلت در منطقه برخورد و حد فاصل بین جت‌ها شده است. این در حالی است که افزایش انحنای نسبی و تعداد جت تاثیر محسوسی بر عدد ناسلت در نقطه برخورد نداشته است. همچنین مشاهده شد که در اعداد رینولدز ۲۳۰۰۰ و ۴۰۰۰۰، در یک انحنای نسبی ثابت با کاهش فاصله مرکز جت تا لبه خروجی صفحه مقعر، ناسلت در نقطه برخورد افزایش یافته است.

کلیدواژگان

انتقال حرارت برخوردی، جریان آشفته، جت دایره‌ای، عدد ناسلت، تصحیح یاپ

فهرست مطالب

فصل ۱: خنک کاری

۱۴ ۱-۱- مقدمه
۱۴ ۲-۱- خنک سازی
۱۵ ۳-۱- انواع روش‌های خنک کاری با هوا.....
۱۵ ۱-۳-۱- خنک کاری جابه‌جایی یا همرفتی
۱۵ ۲-۳-۱- خنک کاری پاششی یا برخوردی
۱۶ ۳-۳-۱- خنک کاری لایه‌ای یا غشایی
۱۷ ۴-۱- خنک سازی با آب.....
۱۷ ۵-۱- جمع بندی.....

فصل ۲: میدان جریان و انتقال حرارت در جت‌های برخوردی

۱۹ ۱-۲- مقدمه
۱۹ ۲-۲- تعریف جت
۱۹ ۳-۲- انواع جت.....
۲۲ ۴-۲- ملاحظات هیدرودینامیکی و هندسی
۲۴ ۵-۲- دسته بندی جت‌های برخوردی.....
۲۹ ۶-۲- جمع بندی.....

فصل ۳: مروری بر پژوهش‌های دیگران

۳۱ ۱-۳- مقدمه
۳۱ ۲-۳- مروری بر پژوهش‌های انجام شده روی جت برخوردی با صفحه تخت.....
۴۰ ۳-۳- مروری بر پژوهش‌های انجام شده روی جت برخوردی با صفحه مقعر.....
۵۱ ۴-۳- مروری بر پژوهش‌های انجام شده روی جت برخوردی با صفحه محدب.....
۵۴ ۵-۳- مروری بر پژوهش‌های انجام شده روی جت نوسانی برخوردی با سطح.....
۵۵ ۶-۳- جمع بندی.....

فصل ۴: معادلات حاکم و مدل‌سازی آشفتگی

۵۷ ۱-۴- مقدمه
۵۷ ۲-۴- معادلات حاکم
۶۱ ۳-۴- مدل‌سازی آشفتگی
۶۱ ۱-۳-۴- بیان کلی
۶۳ ۲-۳-۴- مدل آشفتگی $k-\epsilon$ استاندارد
۶۴ ۳-۳-۴- مدل رینولدز پایین CHC
۶۶ ۴-۳-۴- مدل آشفتگی RNG $k-\epsilon$
۶۷ ۵-۳-۴- مدل آشفتگی Realizable $k-\epsilon$
۶۹ ۶-۳-۴- مدل انتقال تنش برشی SST $k-\omega$
۷۱ ۴-۴- روش حجم محدود
۷۲ ۱-۴-۴- طرح اختلاف مرکزی
۷۳ ۲-۴-۴- طرح اختلاف بالادست
۷۵ ۵-۴- SIMPLE روش
۷۷ ۶-۴- جمع بندی

فصل ۵: بحث و تحلیل نتایج

۷۹ ۱-۵- مقدمه
۷۹ ۲-۵- معرفی مسئله
۷۹ ۱-۲-۵- هندسه میدان حل
۸۲ ۲-۲-۵- شرایط مرزی
۸۳ ۳-۵- شبکه محاسباتی و استقلال حل از شبکه
۸۶ ۴-۵- روش حل عددی
۸۸ ۵-۵- اعتبار سنجی
۹۲ ۶-۵- بحث پیرامون نتایج
۹۲ ۱-۶-۵- میدان جریان
۹۵ ۲-۶-۵- تاثیر عدد رینولدز بر توزیع ناسلت
۱۰۱ ۳-۶-۵- تاثیر فاصله برخورد و تعداد جت بر توزیع ناسلت

۱۰۴ ۴-۶-۵- تاثیر انحنای نسبی بر توزیع عدد ناسلت.
۱۰۶ ۵-۶-۵- تاثیر فاصله مرکز جت تا لبه خروجی و چیدمان جت‌ها بر توزیع ناسلت.
۱۱۰ ۷-۵- جمع بندی

فصل ۶: نتیجه گیری و ارائه پیشنهادات

۱۱۲ ۱-۶- مقدمه
۱۱۲ ۲-۶- نتیجه گیری
۱۱۳ ۳-۶- ارائه پیشنهادات و جمع بندی
۱۱۷ مراجع

فهرست شکل‌ها

فصل ۱: خنک‌کاری

۱۵ شکل (۱-۱) خنک‌کاری جایه‌جایی.
۱۶ شکل (۲-۱) خنک‌کاری برخوردي.
۱۶ شکل (۳-۱) خنک‌کاری لایه‌ای.

فصل ۲: میدان جریان و انتقال حرارت در جت‌های برخوردي

۲۰ شکل (۱-۲) ناحیه در حال توسعه و توسعه یافته در جت آزاد.
۲۱ شکل (۲-۲) نواحی مختلف پروفیل سرعت یک جت جداری.
۲۲ شکل (۳-۲) نواحی فیزیکی میدان سیال در یک جت برخوردي.
۲۵ شکل (۴-۲) شکل‌های مختلف هندسی سطح مقطع جت‌ها.
۲۶ شکل (۵-۲) نمایی از زاویه برخورد در جت‌های برخوردي.
۲۷ شکل (۶-۲) آرایه از جت‌های شیاری.
۲۷ شکل (۷-۲) بر هم کنش جت‌های مجاور.
۲۸ شکل (۸-۲) نمایی از چیدمان جت‌های برخوردي.

فصل ۳: مروری بر پژوهش‌های دیگران

۳۲ شکل (۱-۳) توزیع عدد ناسلت برای صفحه تخت.
۳۳ شکل (۲-۳) نمایی کلی از هندسه مورد مطالعه.
۳۴ شکل (۳-۳) توزیع عدد ناسلت در راستای محوری x برای تک جت.
۳۵ شکل (۴-۳) توزیع عدد ناسلت در دو راستای محوری x و y .
۳۶ شکل (۵-۳) توزیع عدد ناسلت در دو راستای محوری x و y .
۳۷ شکل (۶-۳) هندسه سطح مقطع جت‌ها.
۳۸ شکل (۷-۳) الگوی جریان روی صفحه تخت.
۳۹ شکل (۸-۳) توزیع عدد ناسلت روی صفحه تخت.
۴۱ شکل (۹-۳) تاثیر عدد رینولدز و انحنای نسبی بر عدد ناسلت در نقطه برخورد.
۴۱ شکل (۱۰-۳) توزیع عدد ناسلت در راستای محوری s .
۴۲ شکل (۱۱-۳) مقایسه نسبت سرعت محوری جت به سرعت خروجی از جت با سه مدل آشفتگی مختلف.

۴۴ شکل (۱۲-۳) توزیع عدد ناسلت روی خط برخورد.....
۴۶ شکل (۱۳-۳) توزیع عدد ناسلت در دماهای متفاوت ورودی به جت.....
۴۶ شکل (۱۴-۳) تاثیر تعداد جت بر توزیع ناسلت.....
۴۶ شکل (۱۵-۳) تاثیر انحنای نسبی بر عدد ناسلت.....
۴۷ شکل (۱۶-۳) تعریف عمق نسبی برای صفحه مقعر.....
۴۸ شکل (۱۷-۳) انواع جریان‌های عرضی.....
۴۹ شکل (۱۸-۳) توزیع ضریب فشار.....
۵۰ شکل (۱۹-۳) توزیع عدد ناسلت روی صفحه برخورد.....
۵۱ شکل (۲۰-۳) توزیع عدد ناسلت روی صفحه برخورد.....
۵۲ شکل (۲۱-۳) توزیع عدد ناسلت روی صفحه برخورد.....
۵۳ شکل (۲۲-۳) هندسه یک سطح محدب.....

فصل ۴: معادلات حاکم و مدل‌سازی آشфтگی

۷۱ شکل (۱-۴) حجم کنترل اطراف گره p.....
۷۴ شکل (۲-۴) جهت جریان غرب به شرق.....
۷۴ شکل (۳-۴) جهت جریان شرق به غرب.....

فصل ۵: بحث و تحلیل نتایج

۸۰ شکل (۱-۵) نمایی کلی از هندسه مرجع مورد مطالعه.....
۸۱ شکل (۲-۵) نمایی از بالا برای یک ردیف جت در چیدمان متفاوت.....
۸۳ شکل (۳-۵) شرایط مرزی اعمال شده به محدوده محاسباتی.....
۸۴ شکل (۴-۵) نمایی از شبکه محاسباتی برای یک گام از دامنه محاسباتی (یک جت).....
۸۵ شکل (۵-۵) افزایش تراکم شبکه نزدیک دیواره.....
۸۵ شکل (۶-۵) شبکه محاسباتی لوله جت.....
۸۵ شکل (۷-۵) مقدار u^+ روی سطح مقعر.....
۸۶ شکل (۸-۵) راستای محوری s و u
۸۷ شکل (۹-۵) استقلال حل از شبکه.....
۸۹ شکل (۱۰-۵) اعتبار سنجی در راستای محوری s
۹۰ شکل (۱۱-۵) کانتور عدد ناسلت برای مدل رینولدز پایین CHC-Yap و CHC.....

- شکل (۱۲-۵) توزیع انرژی جنبشی آشفتگی در راستای محوری z
 شکل (۱۳-۵) میدان سرعت، $Re = ۲۳۰۰۰, H/d = ۲$
 شکل (۱۴-۵) میدان سرعت، $Re = ۲۳۰۰۰, H/d = ۵$
 شکل (۱۵-۵) توزیع عدد ناسلت در راستای محوری s $C_r = +/1, p/d = ۴$
 شکل (۱۶-۵) مقایسه توزیع عدد ناسلت برای صفحه مقعر و تخت، $Re = ۲۳۰۰۰$
 شکل (۱۷-۵) توزیع عدد ناسلت در راستای محوری y $p/d = ۴, C_r = +/1$
 شکل (۱۸-۵) کانتور توزیع عدد ناسلت روی صفحه مقعر، $p/d = ۴, C_r = +/1, H/d = ۵$
 شکل (۱۹-۵) کانتور توزیع شدت آشفتگی و انرژی جنبشی آشفتگی
 شکل (۲۰-۵) مقایسه توزیع عدد ناسلت برحسب تعداد جت، $C_r = +/1$
 شکل (۲۱-۵) مقایسه توزیع عدد ناسلت در راستای محوری y $C_r = +/1, p/d = ۸$
 شکل (۲۲-۵) کانتور توزیع عدد ناسلت بر روی صفحه مقعر، $C_r = +/1, p/d = ۸$
 شکل (۲۳-۵) تاثیر انحنای نسبی بر توزیع عدد ناسلت، $p/d = ۴$
 شکل (۲۴-۵) میدان جریان و انتقال نقطه سکون، $Re = ۴۰۰۰۰$
 شکل (۲۵-۵) توزیع عدد ناسلت در راستای محوری s ، چیدمان خطی، $C_r = +/1, p/d = ۸$
 شکل (۲۶-۵) توزیع ناسلت در حالت چیدمان جابه‌جا شده، $p/d = ۴, C_r = +/1, Re = ۲۳۰۰۰$

فهرست جداول

فصل ۳: مروری بر پژوهش‌های دیگران

۳۷ جدول (۱-۳) مشخصات هندسی سطح مقطع جت‌ها

فصل ۴: معادلات حاکم و مدل‌سازی آشفتگی

۶۴ جدول (۱-۴) ضرایب نیمه تجربی مدل آشفتگی $k-\epsilon$ استاندارد

۶۷ جدول (۲-۴) ضرایب نیمه تجربی مدل آشفتگی RNG $k-\epsilon$

۶۸ جدول (۳-۴) ضرایب نیمه تجربی مدل آشفتگی Realizable $k-\epsilon$

۷۰ جدول (۴-۴) ضرایب نیمه تجربی مدل آشفتگی SST $k-\omega$

فصل ۵: بحث و تحلیل نتایج

۸۱ جدول (۱-۵) جزئیات هندسی مسئله

۸۲ جدول (۲-۵) خواص سیال در ورودی جت‌ها

۹۱ جدول (۳-۵) $Re = ۲۳۰۰۰, H/d = ۲, C_r = ۰/۱$

۹۲ جدول (۴-۵) $Re = ۲۳۰۰۰, H/d = ۵, C_r = ۰/۱$

فهرست علائم

d	قطر جت (mm)
D	قطر صفحه برخورد (mm)
H	فاصله برخورد (mm)
T_{jet}	دماي هواي ورودي جت (K)
T_∞	دماي محيط (K)
q''	شار حرارتی (W m^{-2})
K_{jet}	ضريب هدايت حرارتی هوا ($\text{W m}^{-1} \text{ K}^{-1}$)
u	سرعت جت (m s^{-1})
C_r	انحنای نسبی (d/D)
Re	عدد رینولدز ($\rho u d / \mu$)
Nu	عدد ناسلت
C_p	ظرفیت گرمایی ویژه در فشار ثابت
μ	لرجت دینامیکی سیال ($\text{kg m}^{-1} \text{ s}^{-1}$)
TI	شدت آشفتگی
TKE	انرژی جنبشی آشفتگی ($\text{m}^2 \text{ s}^{-2}$)
$-\rho \overline{\dot{u}_i \dot{u}_j}$	تنشیهای رینولدز ($\text{kg m}^{-1} \text{ s}^{-2}$)
δ_{ij}	دلتای کرونیکر
S_{ij}	تانسور نرخ کرنش
k	انرژی جنبشی آشفتگی ($\text{m}^2 \text{ s}^{-2}$)
δ	عمق صفحه مقرر (mm)
E	فاصله مرکز جت تا لبه خروجی (mm)
μ_t	ویسکوزیته آشفتگی ($\text{kg m}^{-1} \text{ s}^{-1}$)

فصل ۱

خنک کاری

۱-۱- مقدمه

امروزه از سیستم‌های خنک کاری به منظور بهینه سازی و افزایش راندمان در نیروگاه‌های گازی استفاده می‌شود. بازده چرخه توربین گازی با افزایش دمای گازهای احتراق ورودی به توربین افزایش می‌یابد. امروزه این دما در حدود 1100°C تا 1260°C است. سازندگان توربین‌های گازی در گیر تحقیقات پرهزینه‌ای هستند تا بتوانند این دما را به 1540 درجه سانتیگراد برسانند و در آینده حتی رسیدن به دمای 1650 درجه سانتیگراد نیز مورد نظر است. برای این که دمای ورودی به توربین بسیار بالا می‌باشد می‌بایست شرایط خاصی را در توربین ایجاد کرد.

برای ساخت پره‌های توربین از مواد خاصی (سوپرآلیاژها) استفاده می‌کنند. با توجه به ایجاد تنش‌های حرارتی و بحث خستگی می‌بایست با ابعاد و سیستم‌های خنک کاری مناسب از خرابی و زوال پره‌ها جلوگیری کرد. در مجموع هدف، خنک کاری پره‌های توربین می‌باشد.

۲-۱- خنک سازی

توربین‌های قدیمی بدون خنک سازی کار می‌کردند در حالی که امروزه در بسیاری از توربین‌ها از خنک سازی پره‌ها استفاده می‌شود. در هر حال استفاده از دماهای بالا مستلزم خنک کاری است. همچنین استفاده از دماهای بالا موجب به وجود آمدن تنش‌های گرمایی در پره‌های متحرک و کاهش طول عمر پره می‌شود. به طور کلی دمای سطح پره باید در کمتر از 900 درجه سانتی گراد باشد تا خوردگی پره از حد مجاز تجاوز نکند. خنک سازی پره با خالی کردن داخل آن و جاری شدن شاره خنک کننده از فضای خالی شده امکان پذیر می‌باشد. پره توخالی سبک تر از پره توپر بوده و عدد بیو (Bi) در آن خیلی کوچکتر است و از این رو توزیع دما در آن نسبتاً یکنواخت می‌باشد. شاره‌های خنک کننده‌ای که مورد استفاده قرار می‌گیرند عبارتند از: هوا و آب.

از هوا تا دمای گاز 1150°C و از آب تا دمای گاز 1315°C استفاده می‌شود و همپنین در محدوده دو دمای فوق سیستم ترکیبی مورد استفاده قرار می‌گیرد. در سیستم‌های ترکیبی، از آب برای خنک سازی

قسمت‌های با دمای بالا، مانند پره‌های ثابت ورودی و از هوا برای خنک سازی بقیه قسمت‌های پره‌ها استفاده می‌شود.

۱-۳-۱- انواع روش‌های خنک کاری با هوا

۱-۳-۱- خنک کاری جابه جایی یا همرفتی

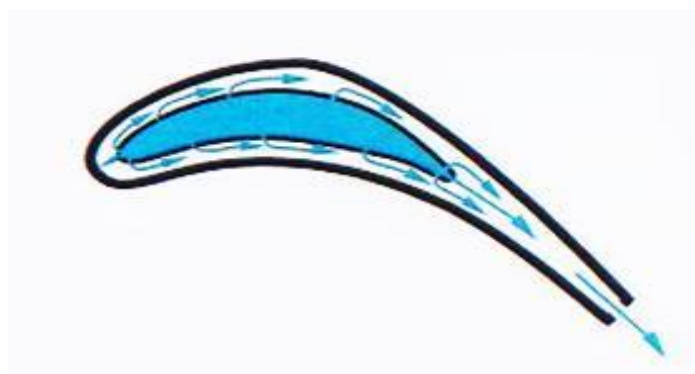
این فرم از خنک کاری با هدایت جریان هوا به داخل پره توربین و دفع حرارت از طریق دیواره‌ها انجام می‌گیرد. معمولاً جریان هوا در جهت شعاعی می‌باشد و از چند مسیر مارپیچ از ته تا نوک پره گذشته و خنک کاری صورت می‌گیرد. خنک کاری جابه جایی در اغلب توربین‌های گازی مرسوم می‌باشد.



شکل (۱-۱) خنک کاری جابه جایی

۱-۳-۲- خنک کاری پاششی یا برخوردی

این نوع خنک کاری در واقع همان نوع جابه جایی ولی با شدت بسیار بالا می‌باشد که در آن هوا با سرعت بسیار زیاد به صورت فواره به سطح داخلی ایرفویل افشارنده می‌گردد و باعث می‌شود که انتقال حرارت زیادی از سطح فلز به هوای خنک کن، صورت گیرد. این نوع خنک کاری همواره در قسمتی از پره صورت می‌گیرد، تا این که توزیع درجه حرارت را در پره یکسان نماید. مثلاً در لبه هدایت پره که درجه حرارت بالا می‌رود از افشارنده هوا استفاده می‌شود و در قسمت‌های دیگر پره، نوع جابه جایی معمولی می‌باشد.



شکل (۲-۱) خنک کاری برخورده

۳-۳-۱- خنک کاری لایه ای یا غشایی

این نوع خنک کاری براین اساس کار می کند که یک لایه عایق هوا بین گاز داغ و پره برقرار می گردد و انتقال حرارت را به دیواره پره از طرف گاز داغ کم می کند. در واقع به همان روشهی که اتاق های احتراق در مقابل گازهای داغ به وسیله ایجاد لایه عایق هوا حفاظت می شود در لبہ پره ها نیز همین عمل انجام می گیرد. در واقع هوا از طریق سوراخهای ریزی از لبہ پره عبور می کند و به بیرون پره می رسد و همین عمل، به علت ایجاد فیلم عایق، علاوه بر خنک کاری ضریب انتقال حرارت به پره را از سمت گاز داغ کم می کند. خنک سازی مرکب، همروفتی و غشائی برتر از سایر روشها است و به دنبال آن خنک کاری برخورده و سپس همروفتی قرار دارد.



شکل (۳-۱) خنک کاری لایه ای

۴-۱- خنک سازی با آب

خنک سازی با هوا وقتی که دمای گاز به بیشتر از 1150°C می‌رسد سود بخشی خود را سریعاً از دست می‌دهد زیرا نیاز به هوای خنک کن که طبعاً از اتاق احتراق نمی‌گذرد به شدت افزایش می‌یابد. در این موارد از خنک سازی مخلط و خنک سازی با آب خالص استفاده می‌شود. هرچند که این روش‌ها به وسائل بیشتری نیاز دارد. امید می‌رود که با استفاده از خنک سازی با آب بتوان به دمای گاز 1315°C و حتی بیشتر نیز رسید. ظرفیت گرمایی و قابلیت انتقال گرمای بالاتر آب این امکان را می‌دهد که دمای فلز پایین بیاید و در نتیجه مسائل خوردگی و رسوب بستن ناشی از ناخالصی‌ها کاهش پیدا می‌کند. خنک سازی با آب همچنین ما را از مجاری هوای تعبیه شده در میان پره‌ها که مثلاً در خنک سازی غشائی مورد نیاز هستند و در معرض گرفتگی قرار دارند، بی‌نیاز می‌کند.

۵- جمع بندی

در مطالعه حاضر می‌خواهیم خنک‌کاری برخوردي را مورد بررسی قرار دهیم. در خنک‌کاری برخوردي چون نیاز به سرعت‌های بالا برای سیال می‌باشد از جت‌ها استفاده می‌شود. به کمک جت‌ها مومنتوم اولیه بالایی به سیال وارد شده و این امر می‌تواند کمک در خور توجهی در امر خنک سازی داشته باشد. در فصل دوم ابتدا به بیان انواع جت‌ها و سپس بر روی جت‌های برخوردي و فیزیک انتقال حرارت برخوردي متمرکز می‌شویم.

فصل ۲

میدان جریان و انتقال حرارت در جت‌های
برخورده

۱-۲ - مقدمه

جت‌های برخوردی به طور ویژه برای دست یافتن به ضرایب انتقال حرارت بالا مطرح هستند و به این دلیل در بسیاری از فرایندهای مهندسی به کار گرفته می‌شوند. بنابراین طبیعی است که تحقیقات زیادی بر روی جت‌های برخوردی انجام شده باشد. تحقیق در مورد ویژگی‌های جریان در جت‌های آزاد و برخوردی به تنها‌ی زمینه مورد علاقه بسیاری از محققان می‌باشد. تحقیقات مستقل در مورد انتقال حرارت در جت‌های برخوردی، تغییرات وسیعی در ضرایب انتقال حرارت برای پارامترهای آزمایشی مشابه گزارش می‌دهد از همین رو فهمیده شده است که تغییرات کوچک در هندسه نازل و تنظیمات محدود کننده می‌تواند تأثیر عمده‌ای در توزیع انتقال حرارت داشته باشد. مطالعات عددی نسبتاً خوبی نیز در راستای مدل سازی و شبیه سازی جریان و انتقال حرارت در این زمینه انجام گردیده است که شامل بررسی انواع مدل‌های توربولنس و مزايا و معایب هر کدام می‌باشد. در این فصل قصد داریم ابتدا به تعریف جت و انواع آن بپردازیم و سپس بر روی جت‌های برخوردی مرکز خواهیم شد.

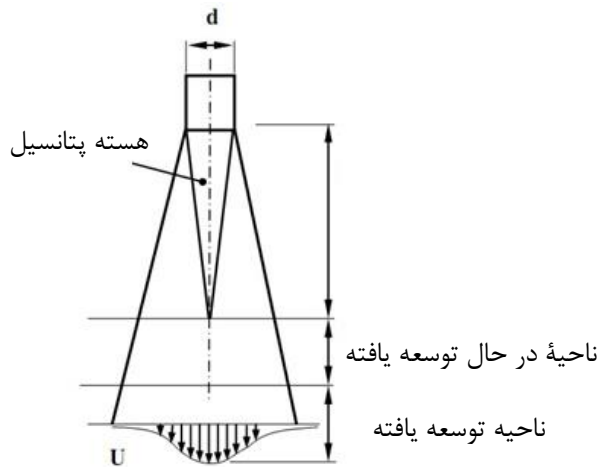
۲-۲ - تعریف جت

jet در مکانیک شاره‌ها به معنی جریانی است که از تخلیه شاره از درون یک روزنه به فضای آزاد ناشی می‌شود. به عبارت دیگر جریان jet عبارت است از تخلیه سیال به درون محیطی از جنس همان سیال که در حالت سکون یا حرکت با سرعتی به غیر از سرعت jet می‌باشد. برهم کنش سیال تخلیه شونده و محیط منجر به ناپایداری بسیار شدید و تشکیل گردابه‌های فراوان حتی در رینولدزهای پایین می‌گردد.

۳-۲ - انواع جت**۱- جت آزاد**

در این نوع از جت‌ها جریان از یک نازل یا شیار در محیطی بزرگ و ساکن تخلیه می‌شود. براثر برهم کنش سیال خروجی از جت و محیط ممکن است جریان آشفته شود و گردابه‌هایی ایجاد شوند. سیال خروجی از

جت تا جایی در فضا پیش روی می‌کند که دیگر کاملاً در محیط پراکنده شود. مطابق شکل (۱-۲) یک جت آزاد دارای سه ناحیه اصلی می‌باشد: ۱- هسته پتانسیل. ۲- ناحیه در حال توسعه یافته. ۳- ناحیه توسعه یافته.



شکل (۱-۲) ناحیه در حال توسعه و توسعه یافته در جت آزاد

۲- جت شناور

در این دسته از جتها آن چه سبب حرکت سیال می‌شود نیروی شناوری و یا نیروی انتقال یافته به سیال می‌باشد. اگر نیرویی به سیال وارد نشود آن گاه تنها دلیل حرکت سیال نیروی شناوری بوده که این اتفاق در دودکش‌ها می‌افتد. به دسته‌ای دیگر از جتها که مومنتومی به سیال وارد شده اما سیال خروجی از جت بر روی سطحی شناور می‌شود نیز جت شناور گویند.

۳- جت دیواره یا جداری

اگر یک جت از یک سمت با یک دیوار محدود شود به عنوان جت دیواره یا جت جداری شناخته می‌شود. این دسته از جتها کاربردهای مختلفی در صنعت دارند. برای مثال جریان در بالای یک ایرفویل یا پره‌های یک توربین، فیزیکی همانند جتها جداری دارند. تفاوت اصلی جت آزاد با یک جت دیواره در این است که در جتها دیواره به دلیل تماس سیال با یک سطح جامد تنش‌های ایجاد شده بزرگتر از تنش‌های ایجاد شده